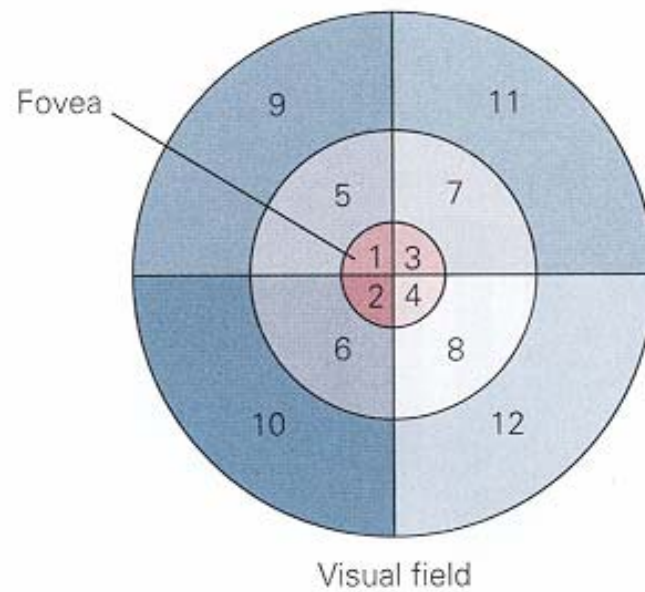


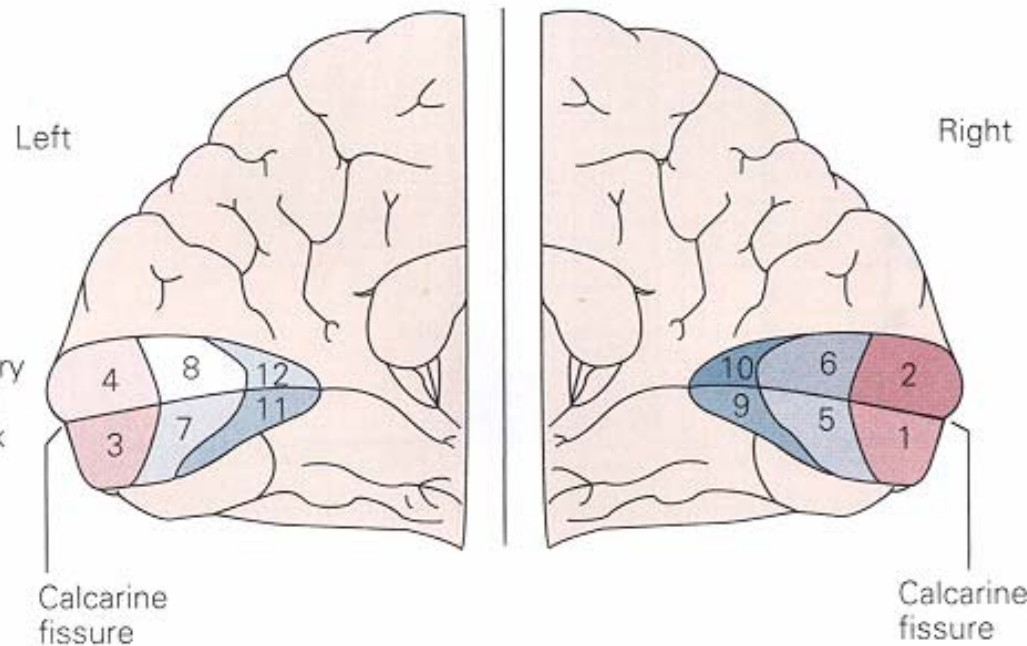
Striate cortex
(layer IVC)

LGN

Retina

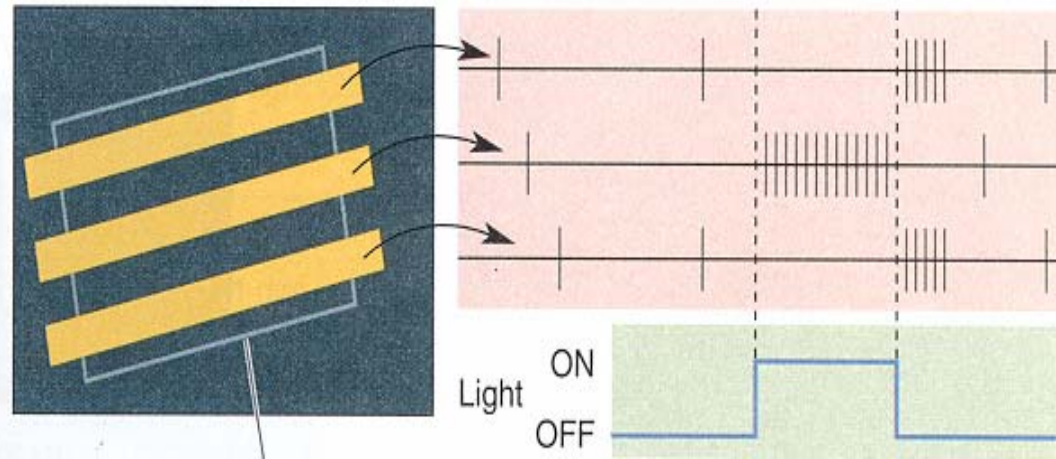
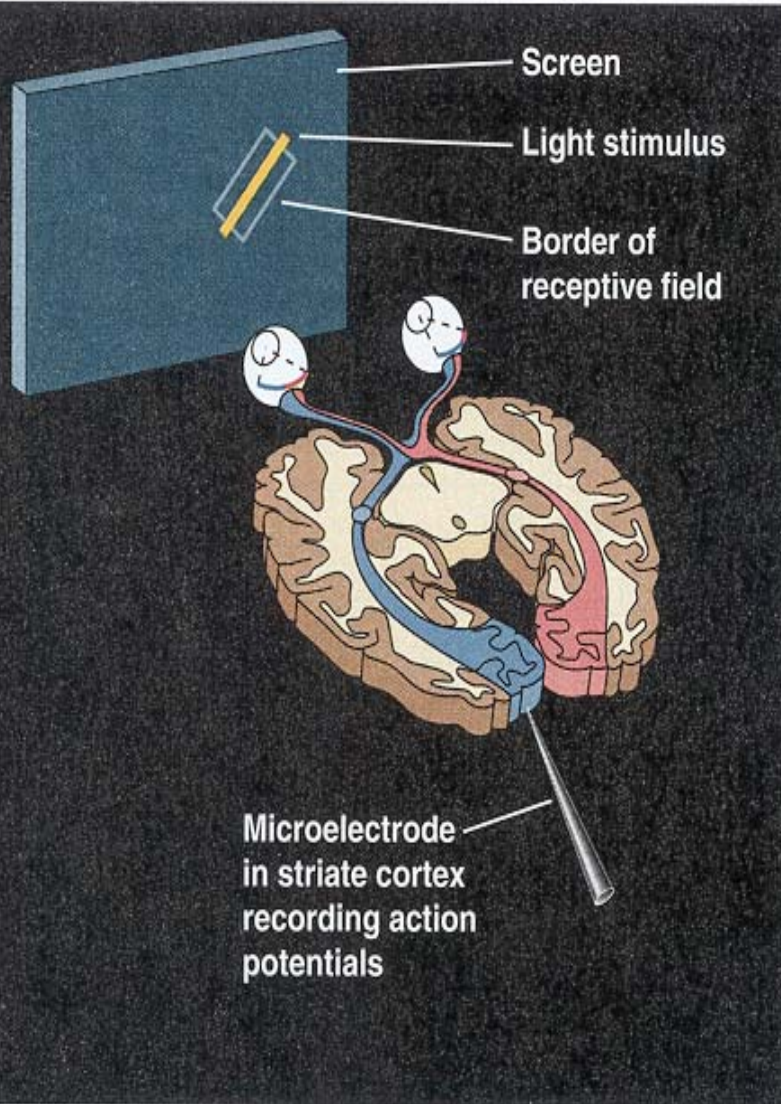


Aufrechterhaltung der Retinotopie

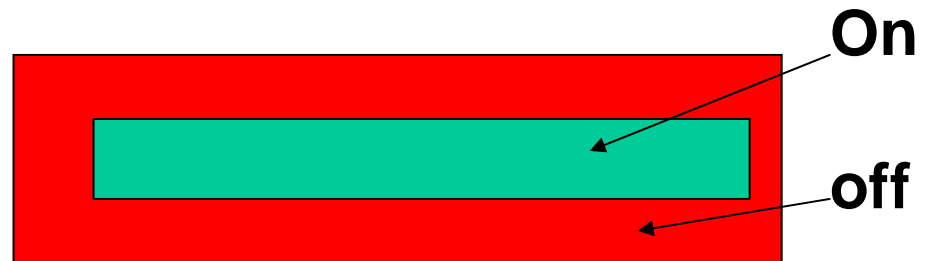


Bear 10.14; Kandel 27-9

Antwortcharakteristik einer „Simple cell“



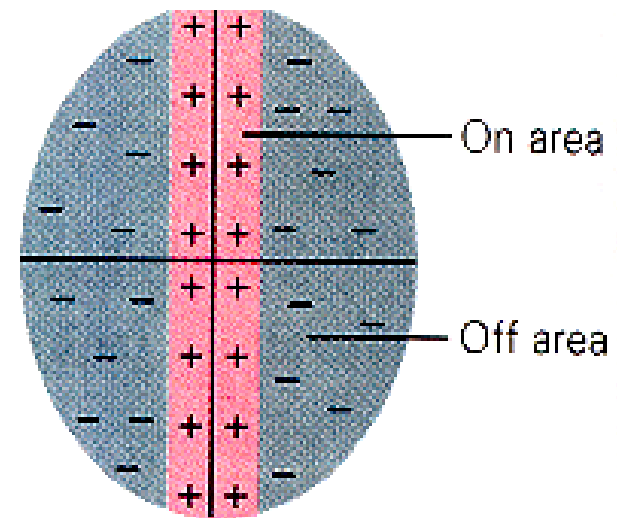
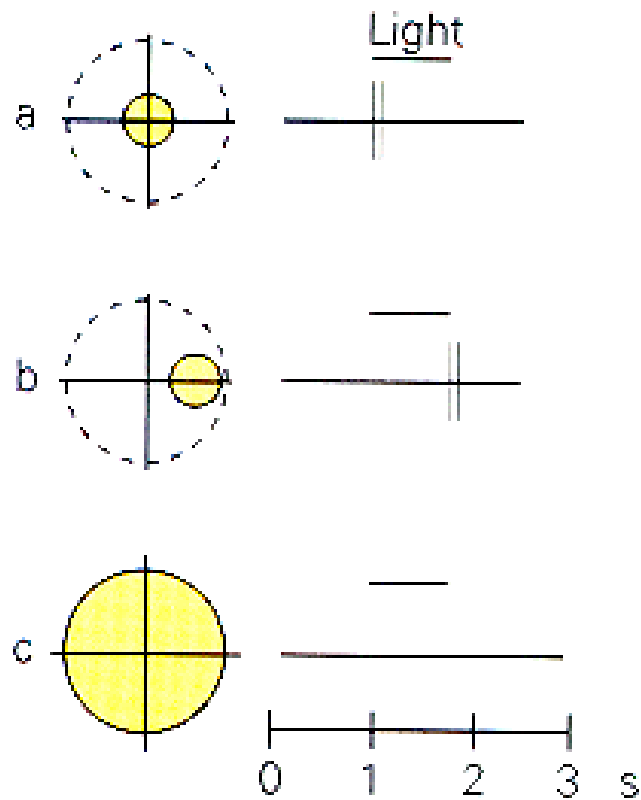
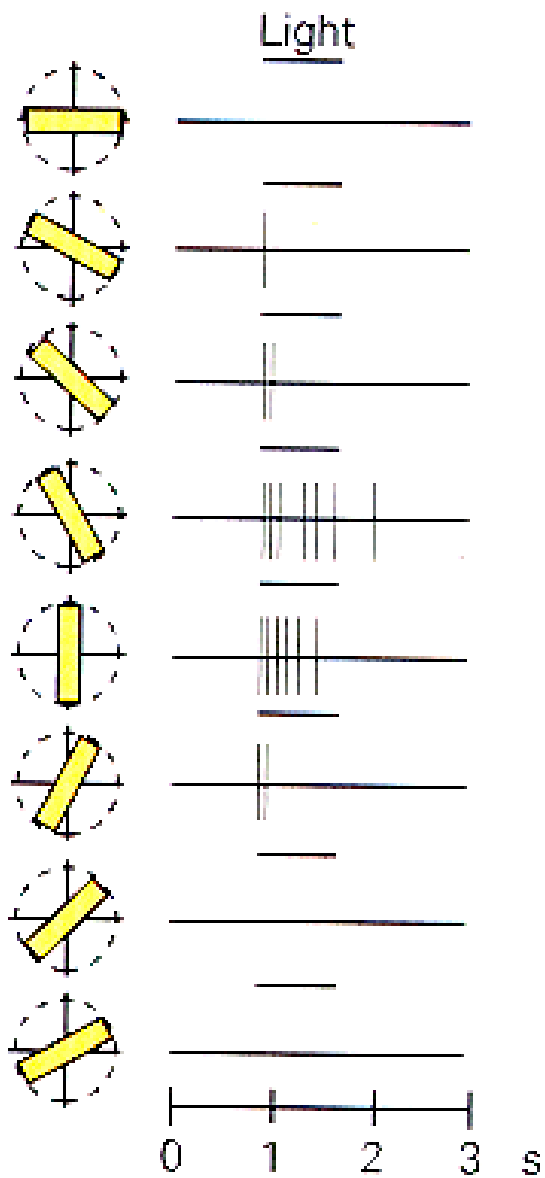
Rezeptives Feld:



**Bevorzugte Antwort auf Lichtbalken
Bestimmter Orientierung**

(a)

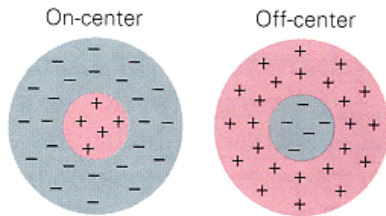
Bear 10.21



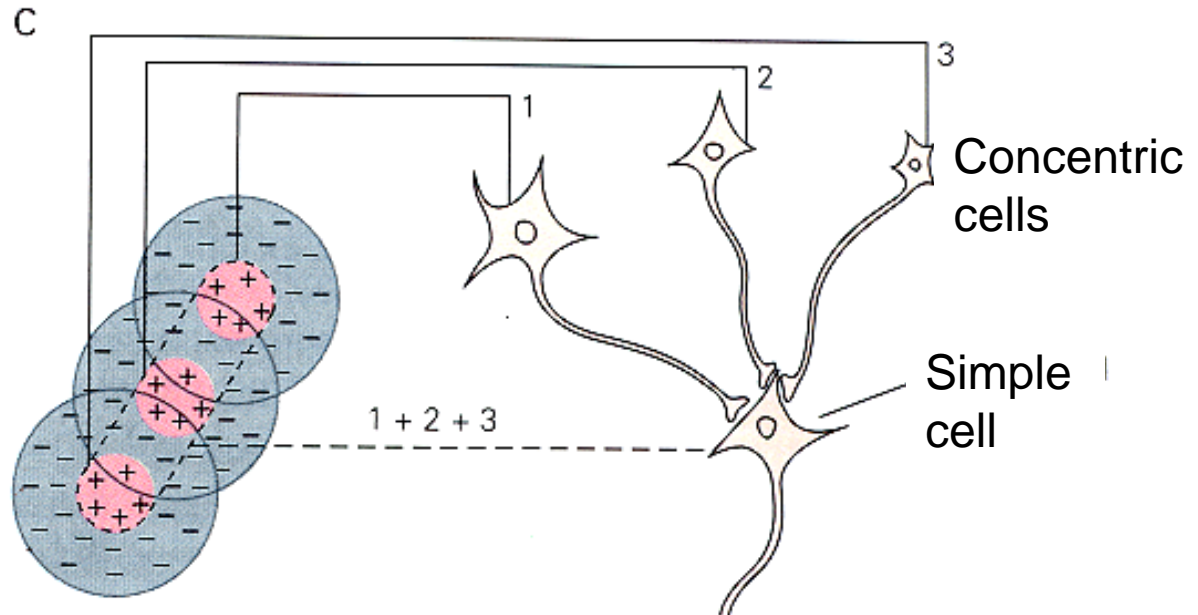
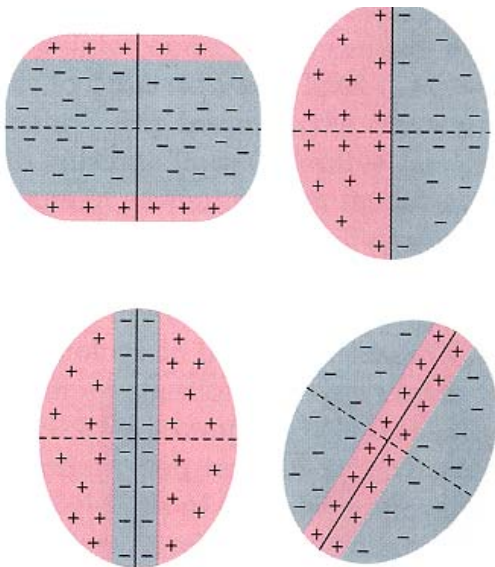
Simple cell Orientierungssensitivität

Konstruktion der simple cell rez.Felder durch **Konvergenz** von LGN-eingängen mit konzentrischen rez. Feldern

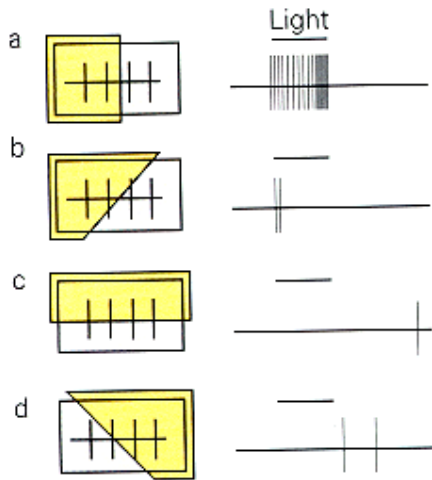
Retina + LGN



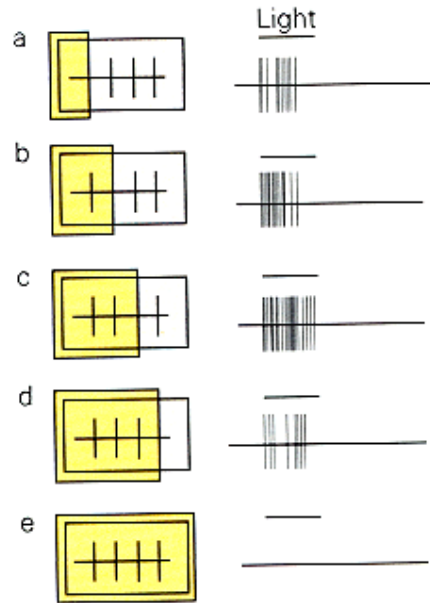
Simple cells V1



Orientierungssensitiv



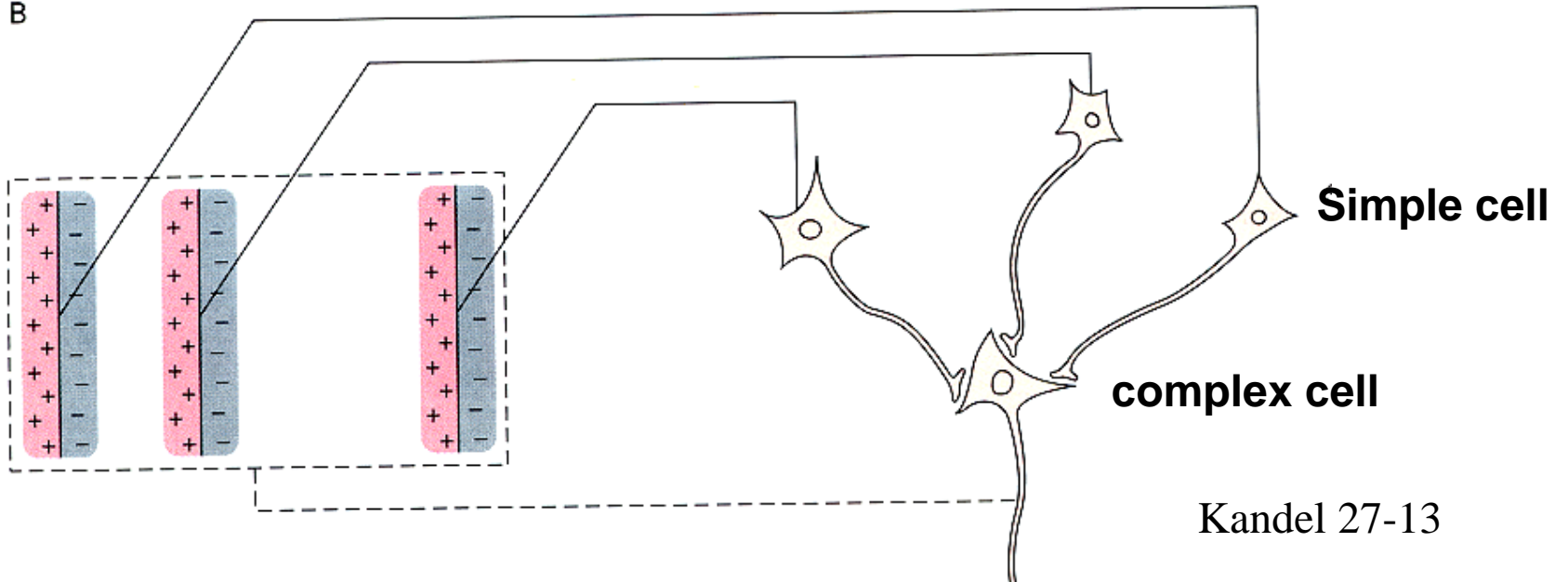
Positionsunabhängig



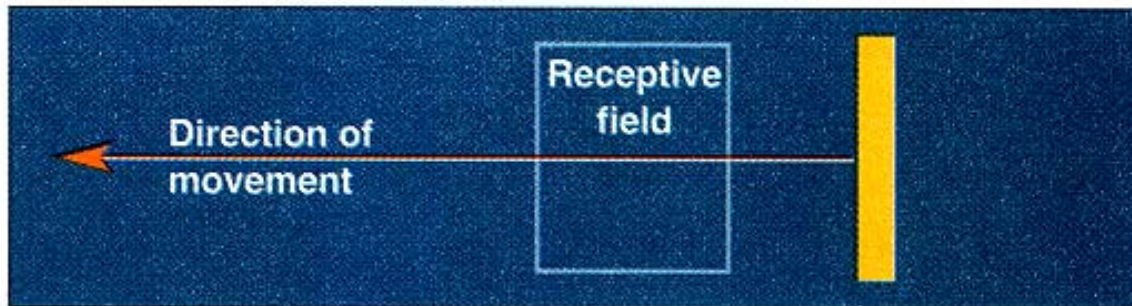
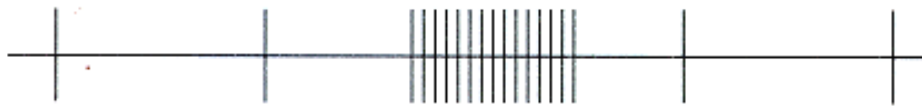
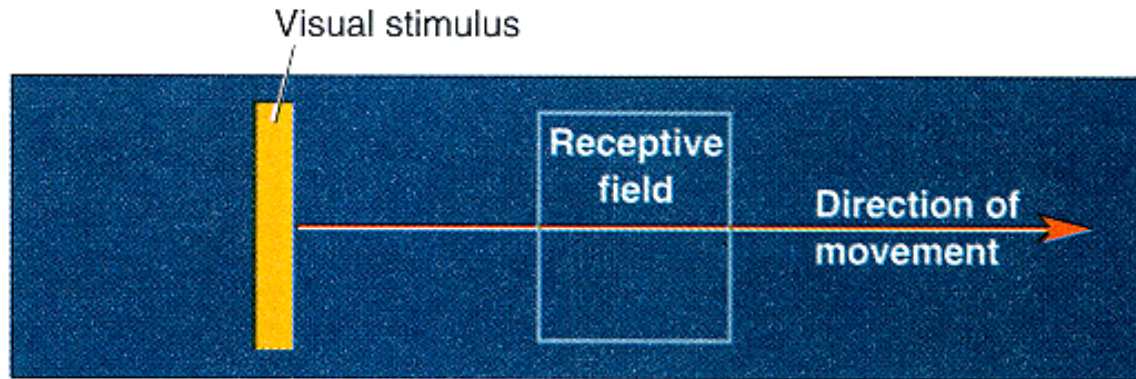
Complex cells:

Rez.Felder groß; keine
 Klaren On-Off Regionen;
 Konvergenz von
 Simple cells

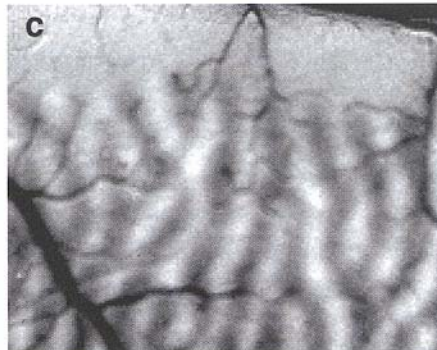
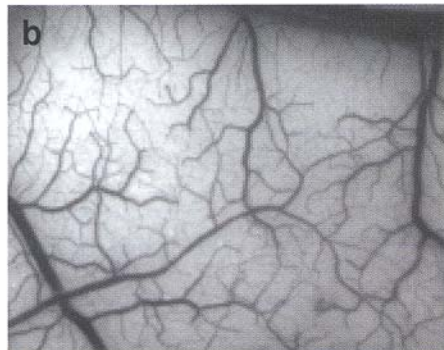
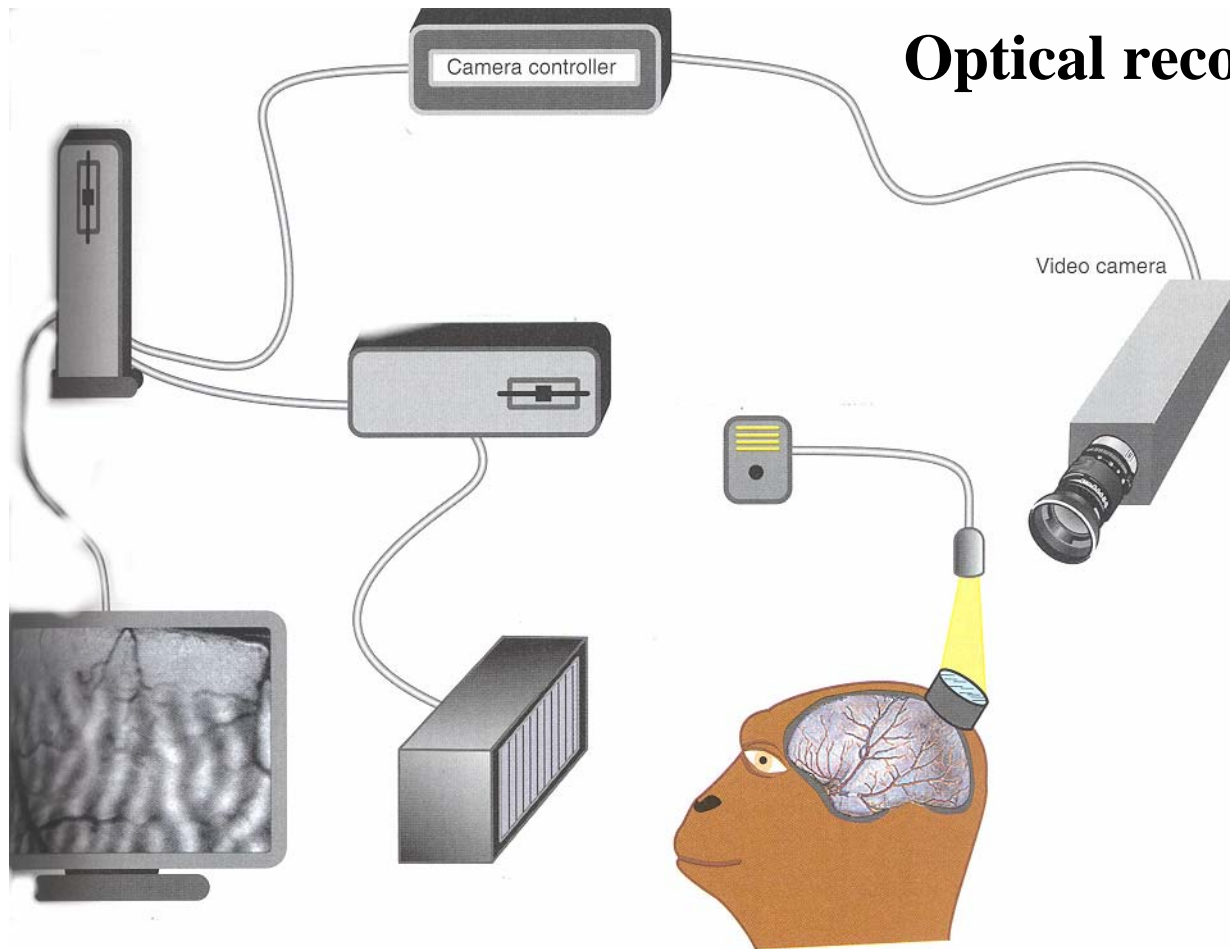
B



Bewegungsrichtungsempfindlichkeit einer Zelle der Schicht IVB

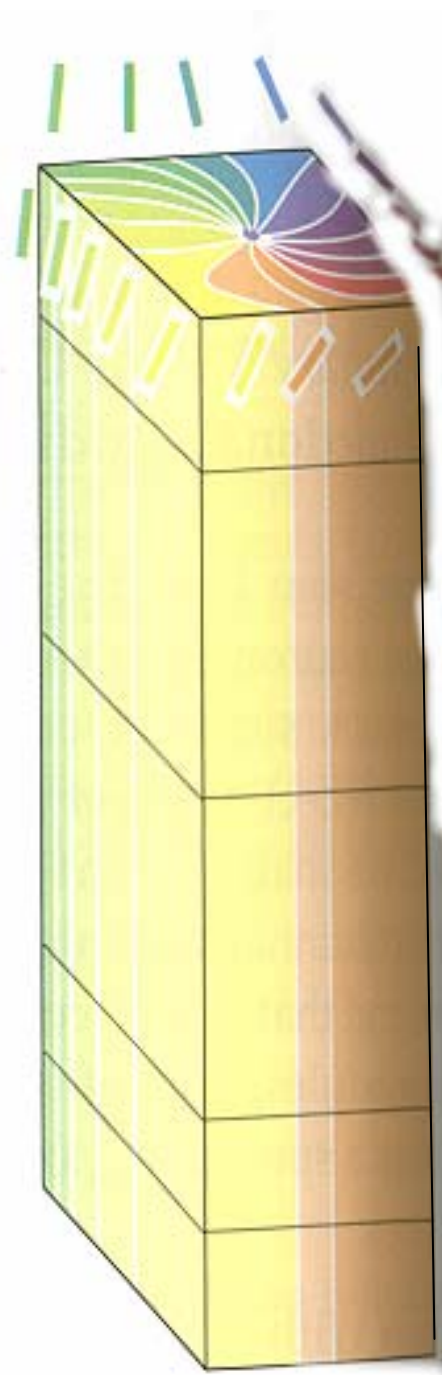


Optical recording

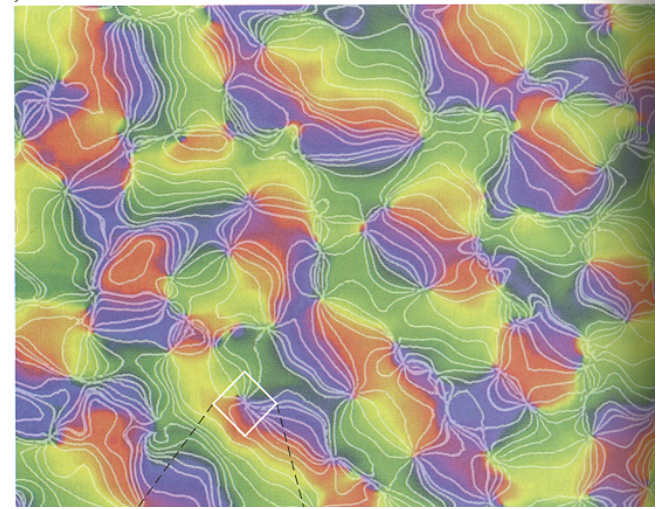
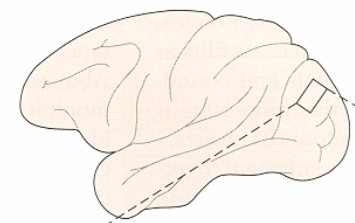
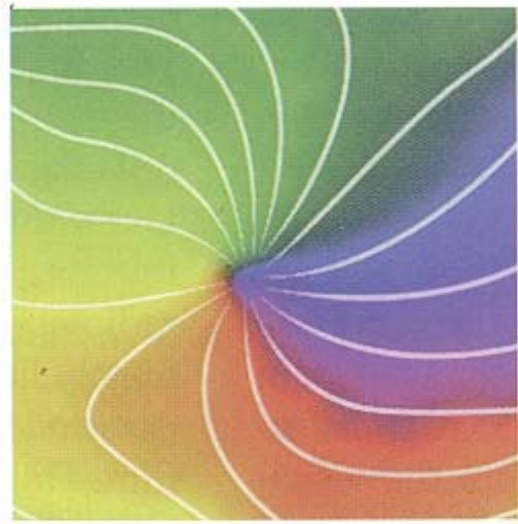


Orientierungssäulen

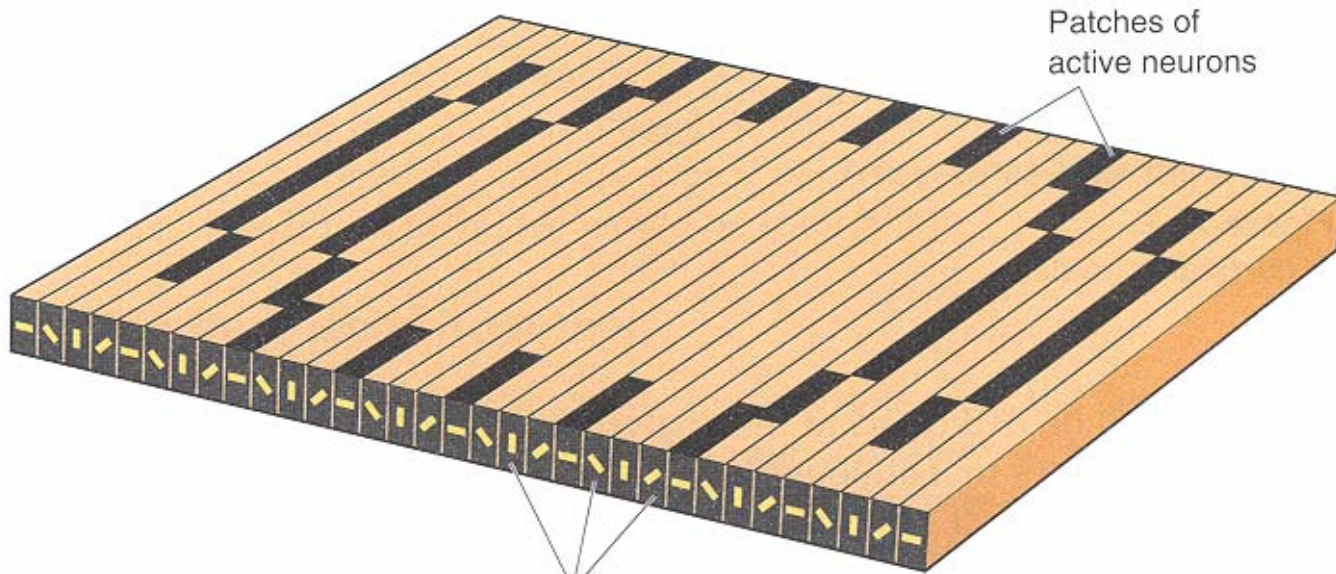
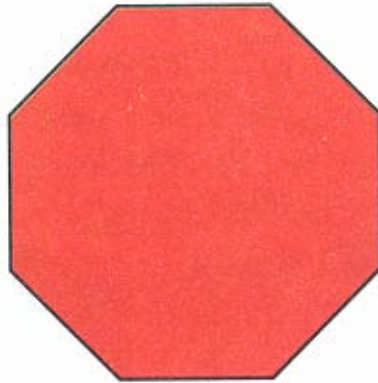
C



B

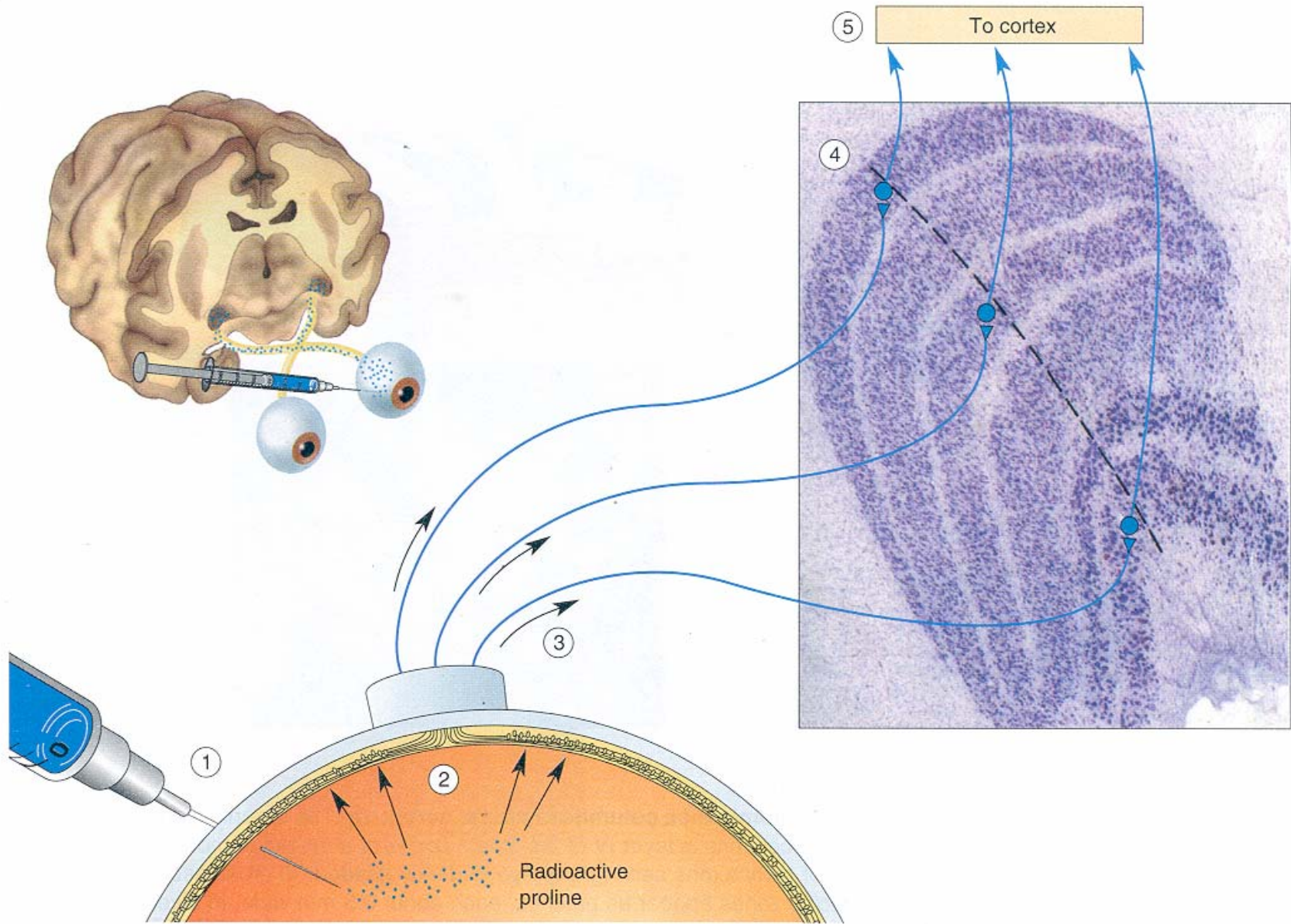


Kandel 27-14

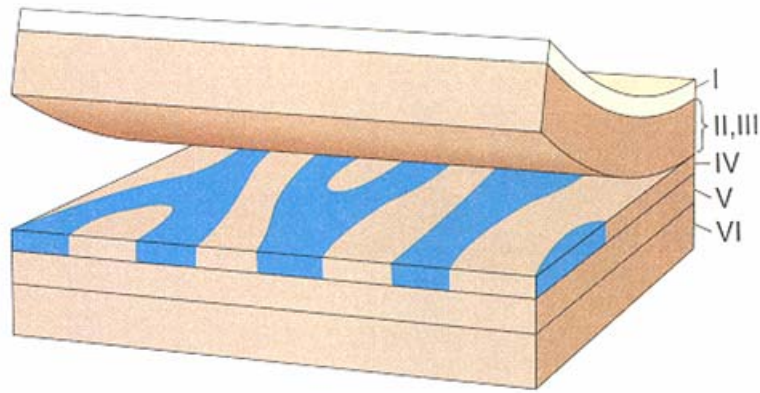


Patches of active neurons

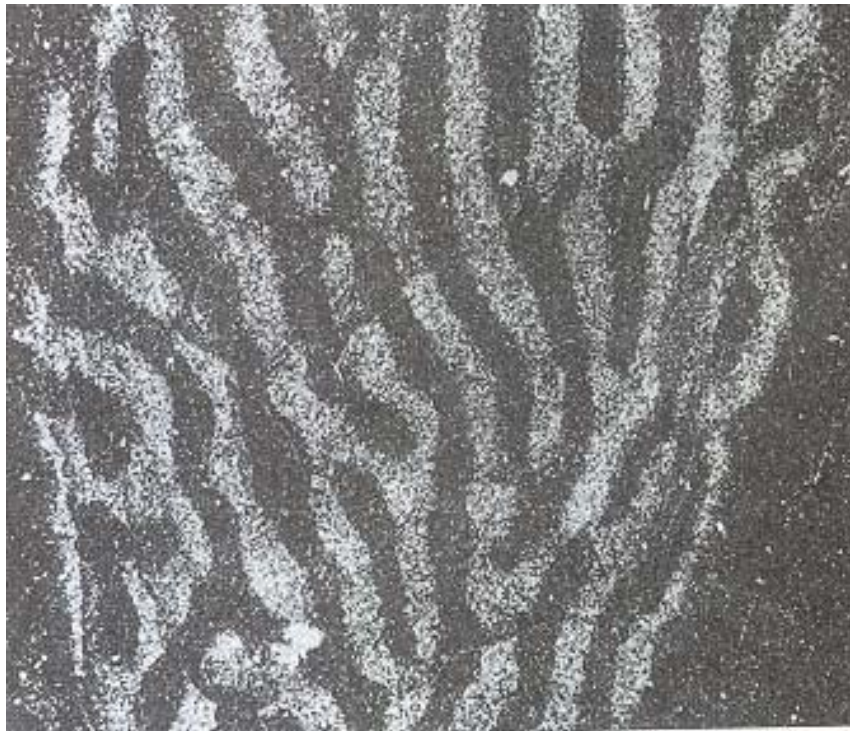
Orientation columns in striate cortex



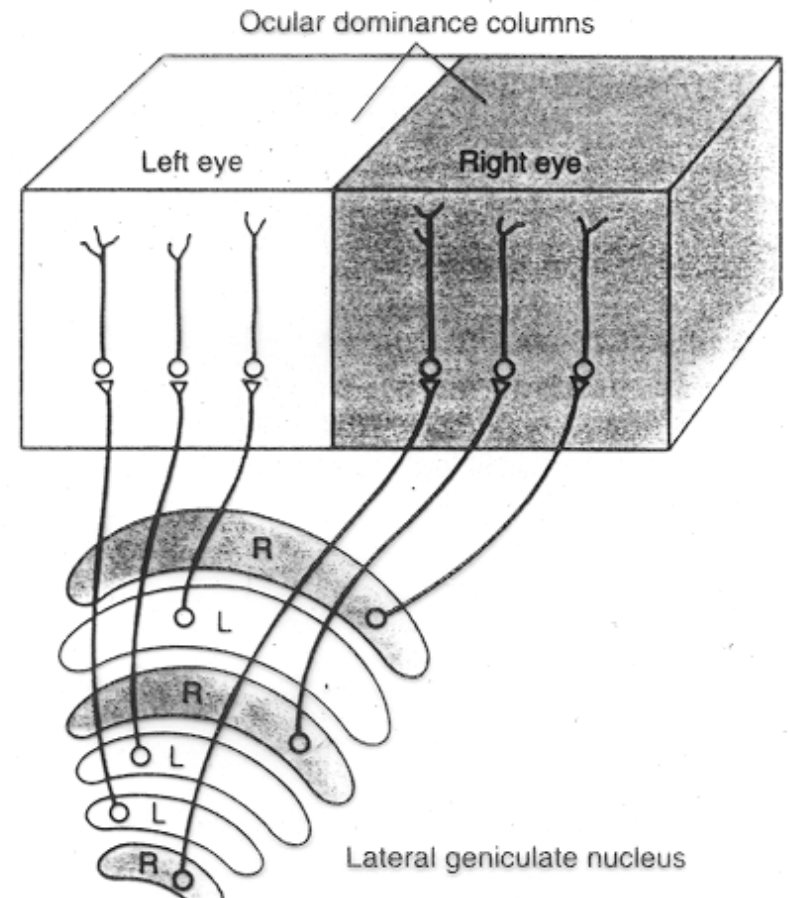
Bear 10.17

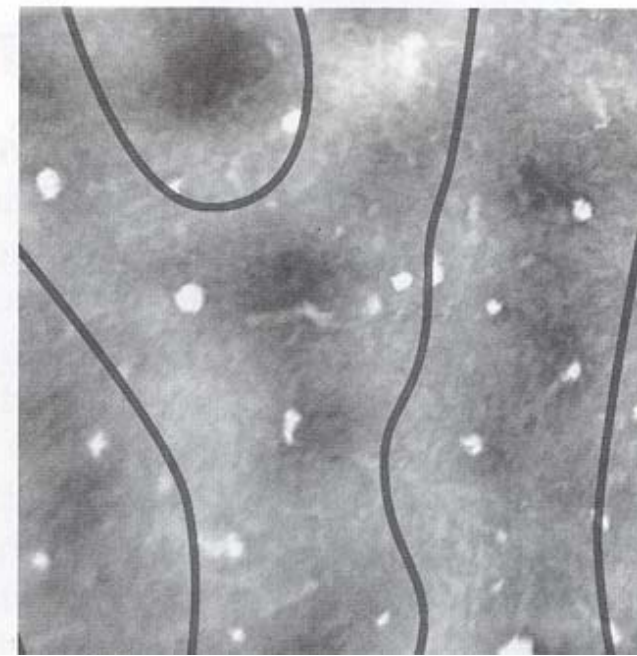
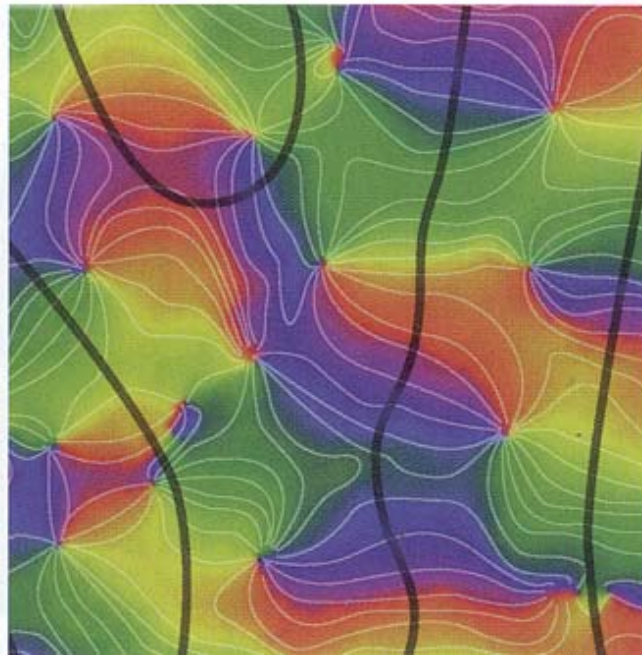


Okulardominanzsäulen im Visuellen Cortex (Autoradiographie)



**Eingänge vom LGN in Schicht
Ivc sind räumlich segregiert**

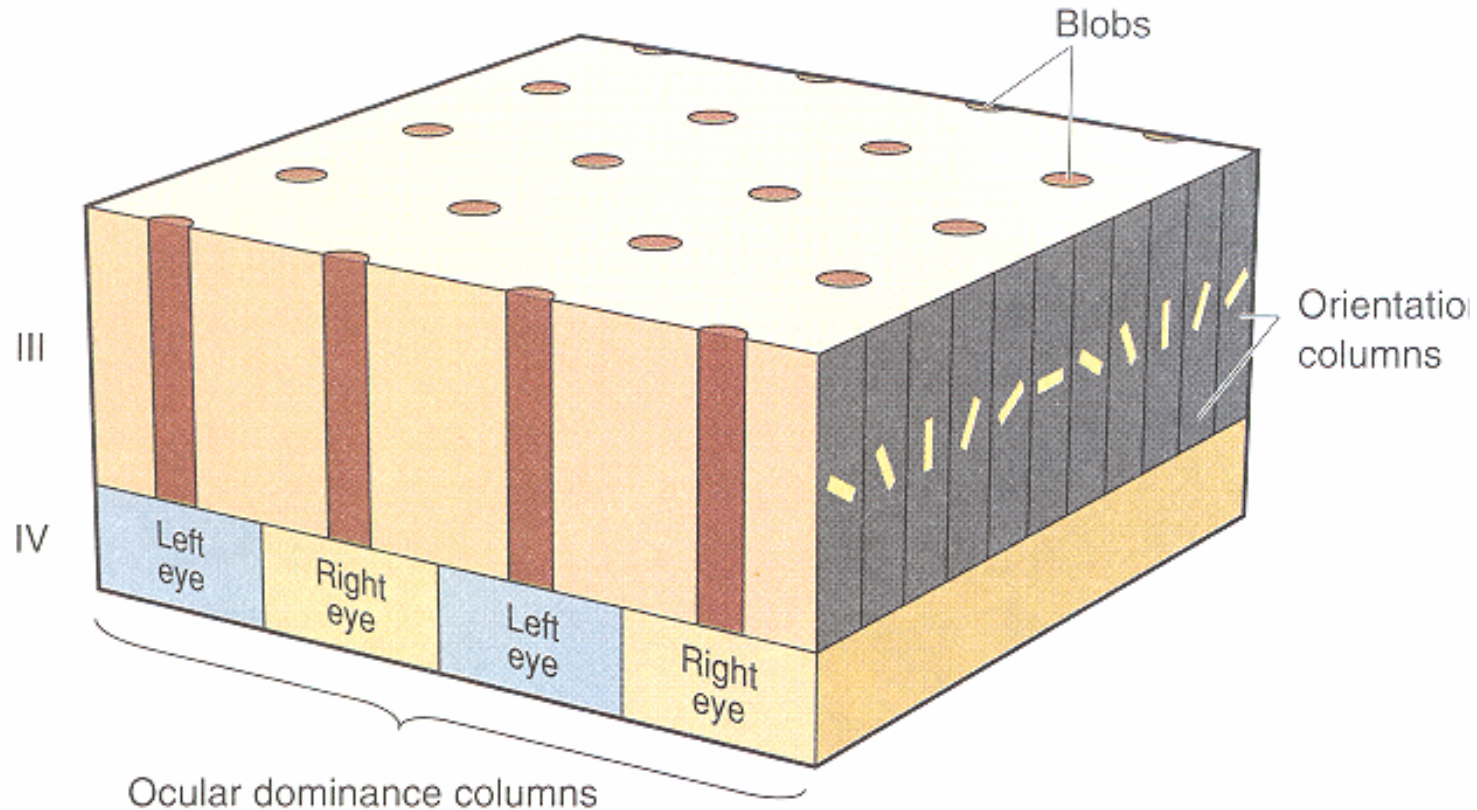




Okulardominanzsäulen, Orientierungssäulen und Blobs

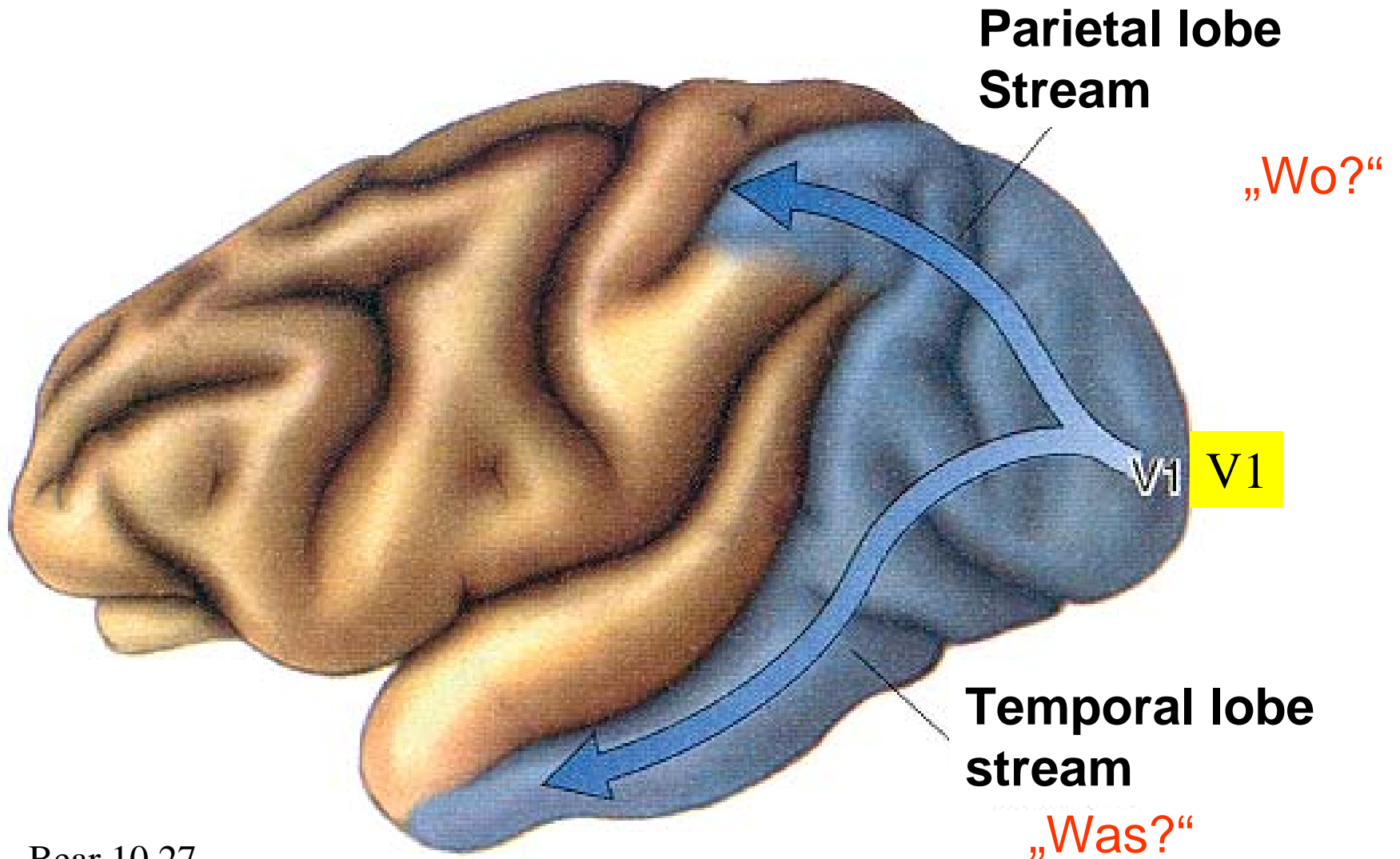
Wie fügt sich das Puzzle zusammen?

Cortikaler Modul (Hypercolumn)

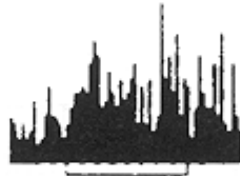
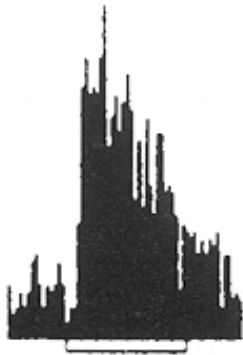


1 mm² Cortexgewebe: Verantwortlich für die Analyse eines kleinen Ausschnitts des Gesichtsfelds = elementarer Verarbeitungsmodul.
2 Sets Okulardominanzsäulen, 16 blobs und komplettes Muster an Orientierungssäulen (360°)

Höhere visuelle Areale



Gesichtsspezifische Neurone im Inferior temporalen Cortex

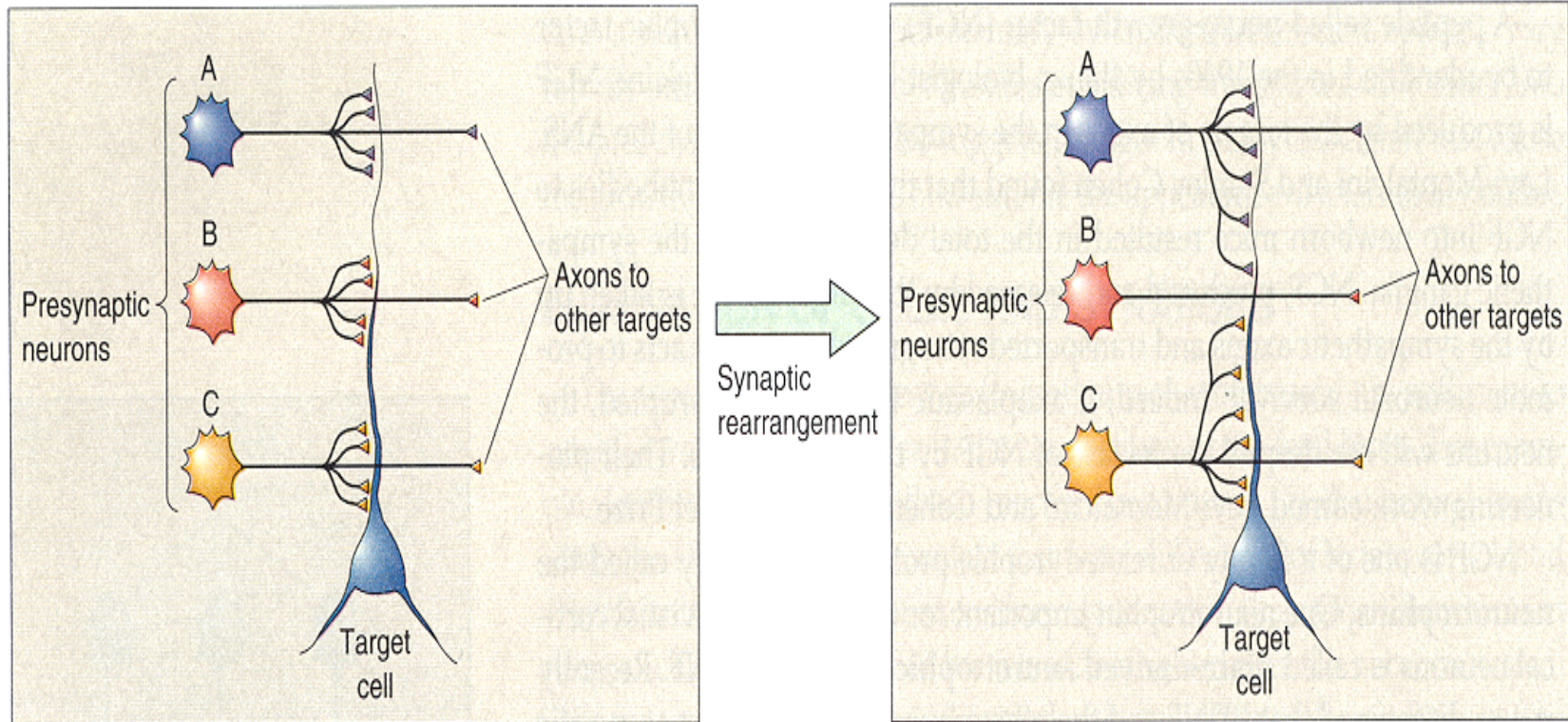


Zusammenfassung: **zentrale Sehverarbeitung**

- **primäre Sehbahn** : Retina → Thalamus (LGN) → **Sehcortex (6-schichtig)**
- **cortikale Rezeptive Felder:**
 - **Orientierungsselektiv** (**simple cell**: lokaler Balken, **complex cell**: globale Balken)
 - **Bewegungsselektiv**: Reaktion nur auf beweg. Balken in bestimmter Richtung
- **Orientierungssäulen** enthalten Repräsentation der vollen 360° möglicher Balkenorientierung, wechselnde **Okulardominanzsäulen** bilden Zebrawuster auf dem Cortex
- **cortikale Hypercolumnne** fasst Orientierungssäulen, Okulardominanzsäulen und blobs (Farbwahrnehmung) zu einer Verarbeitungseinheit zusammen
- visuelle Objekterkennung entweder aufgrund **hierarchischer Verarbeitung** (Großmutterzelle) oder aufgrund von **Parallelverarbeitung** basierend auf neuronalen Netzen welche flexibel zusammengebunden werden

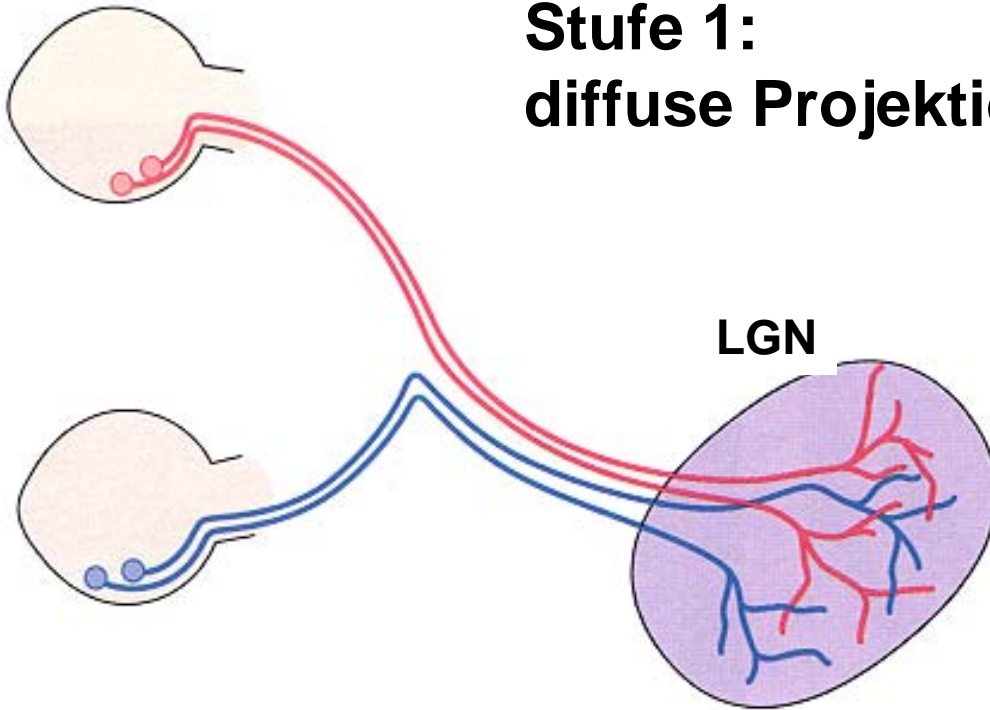
Entwicklung und Plastizität des visuellen Systems

Synaptische Plastizität und Musterbildung im Sehsystem

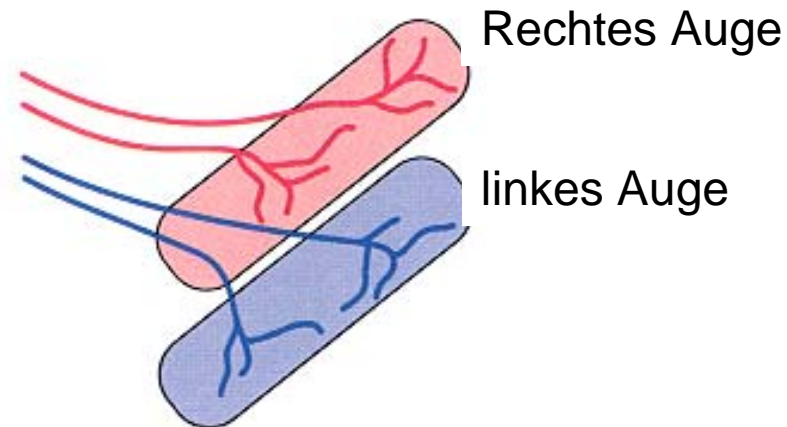


Entwicklung der retinothalamischen Verschaltung erfolgt pränatal

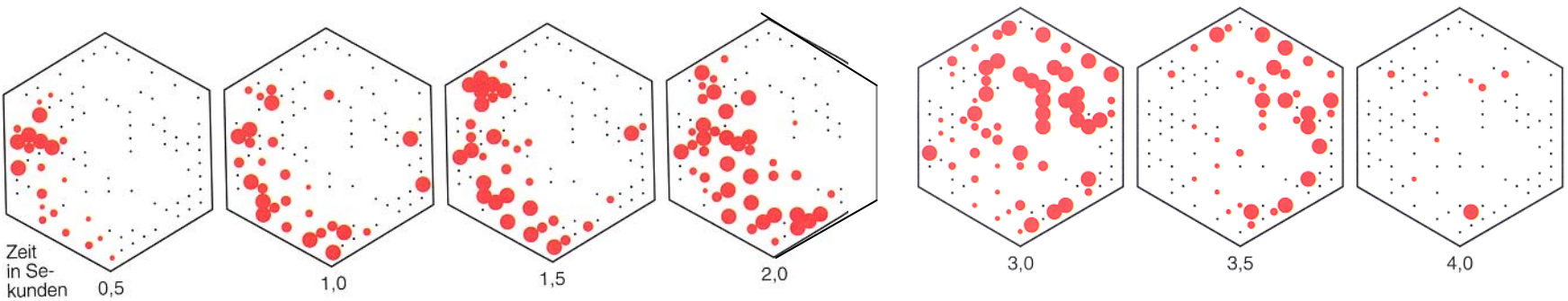
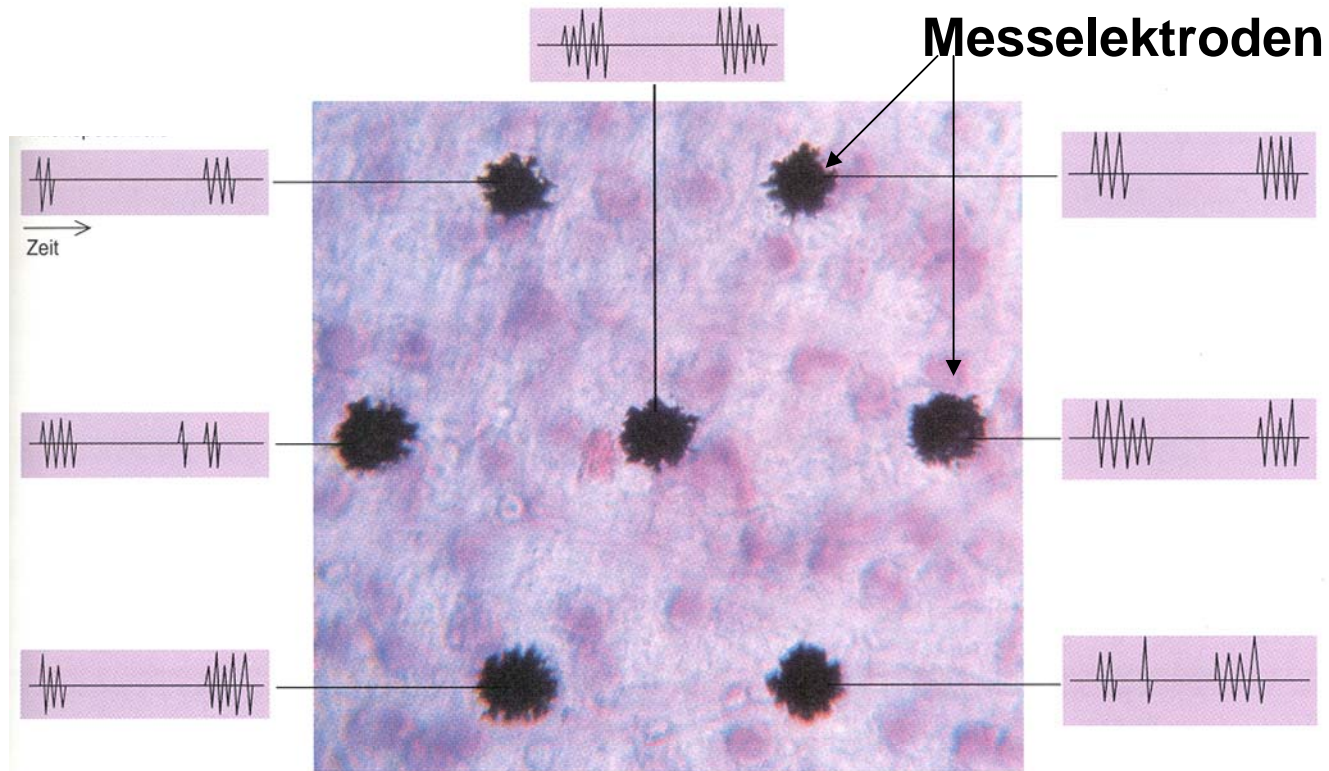
**Stufe 1:
diffuse Projektion**



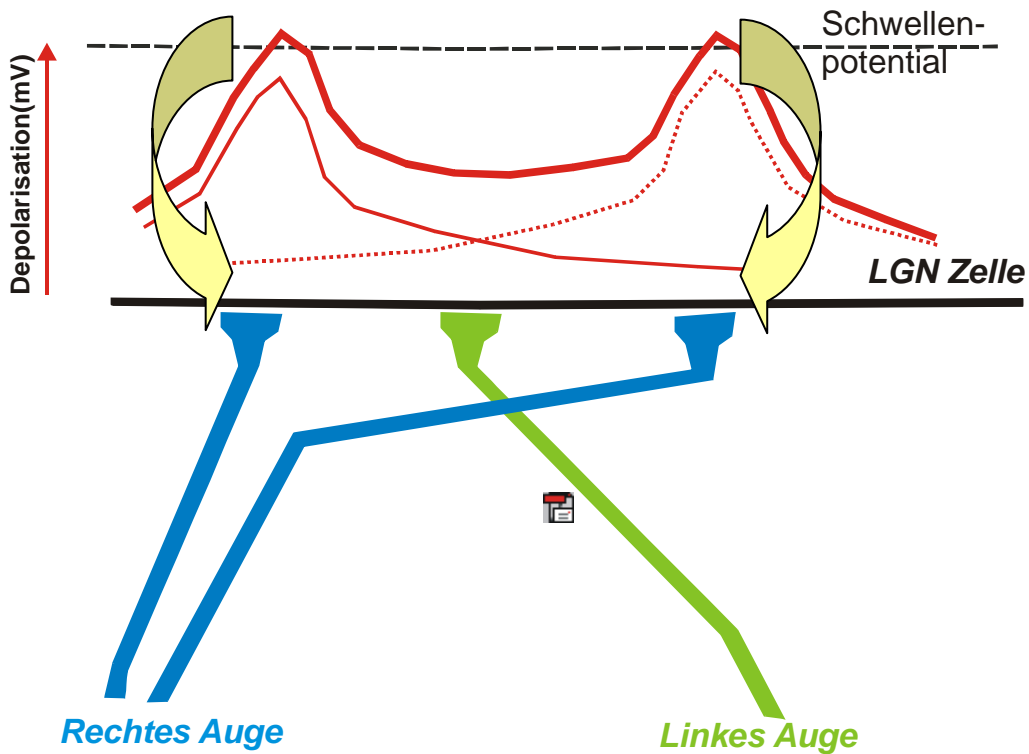
**Stufe 2:
augenspezifische
Schichten**



Elektrodenarray: Spontane Aktivitätswellen in der Retina



Shatz 1994 spektrum



Verstärkung der Synapse

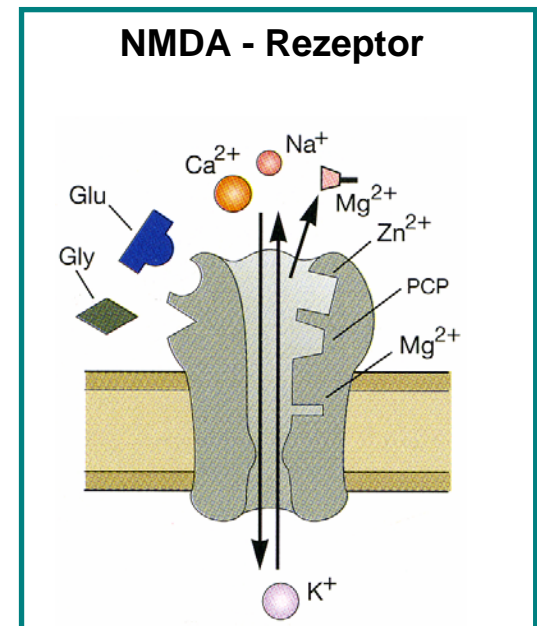
NMDA-Rezeptoren

→ Ca^{2+} Einstrom

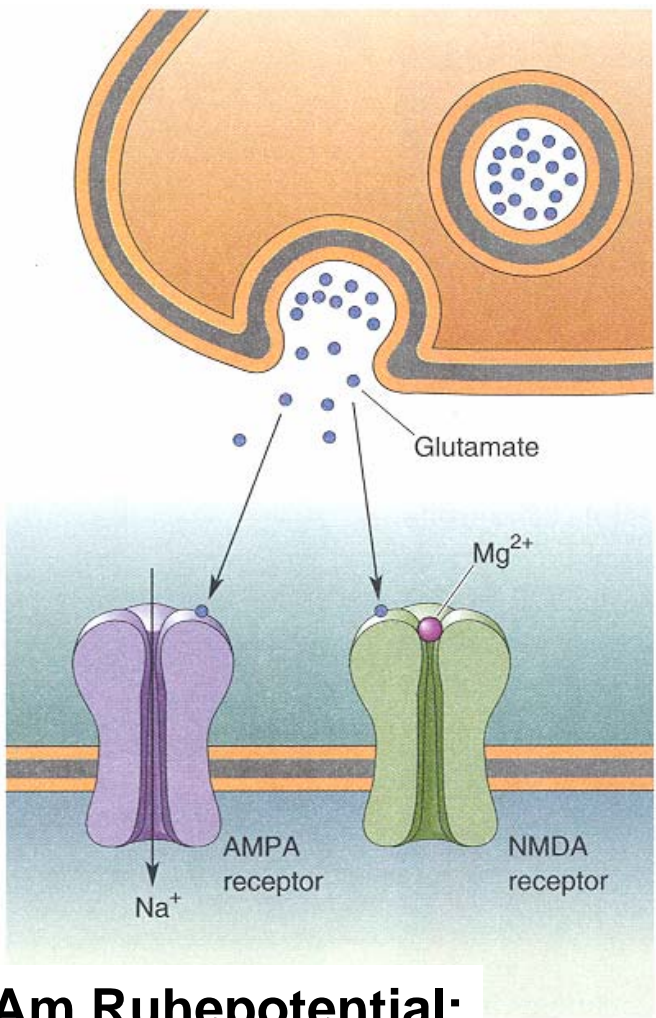
→ 2nd messenger Systeme

→ Aktivierung postsynaptischer Na-Kanäle

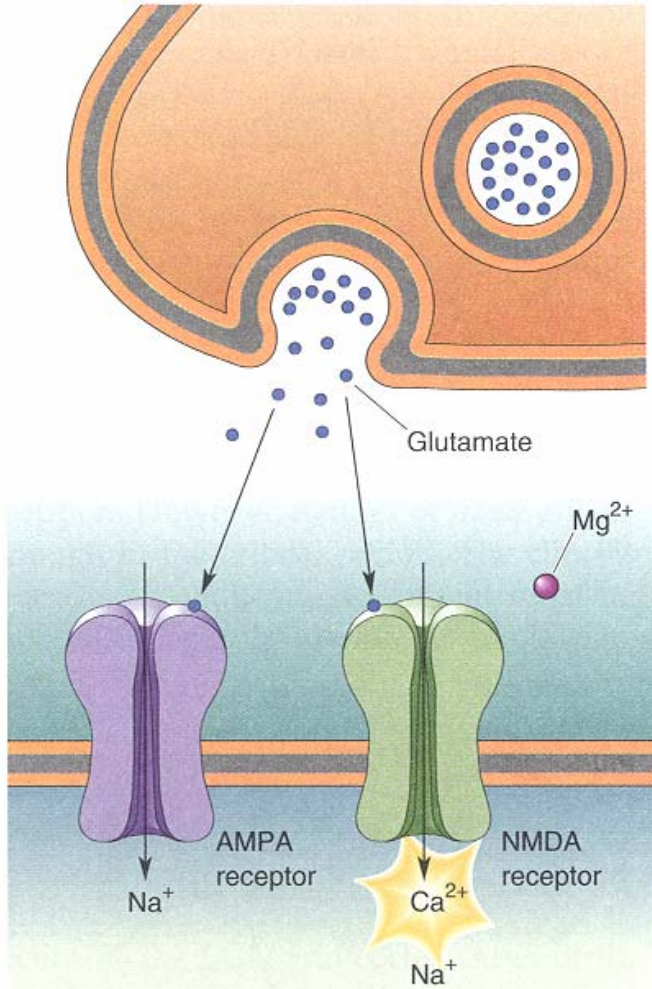
→ Ausschüttung von Wachstumsfaktoren



Sind NMDA-Rezeptor vermittelte Effekte Ursache der Plastizität?



**Am Ruhepotential:
Mg⁺⁺ Block**



**Depolarisierte postsynaptische Zelle:
Ca⁺⁺-Einstrom**

Postnatale Entwicklung
der
Okulardominanzsäulen
im visuellen Cortex

2 Wochen

3 Wochen

5,5 Wochen

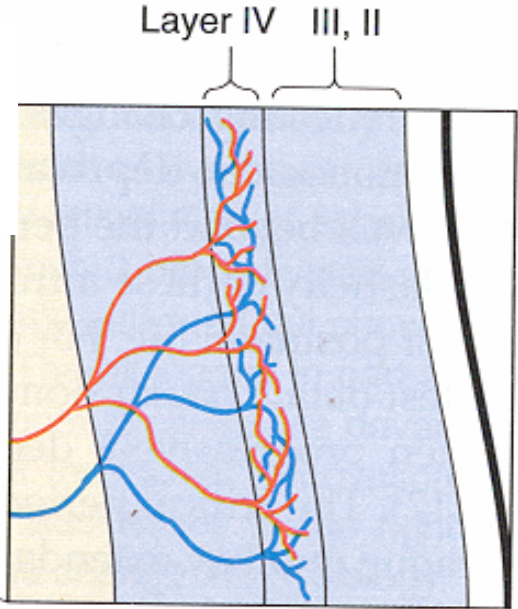
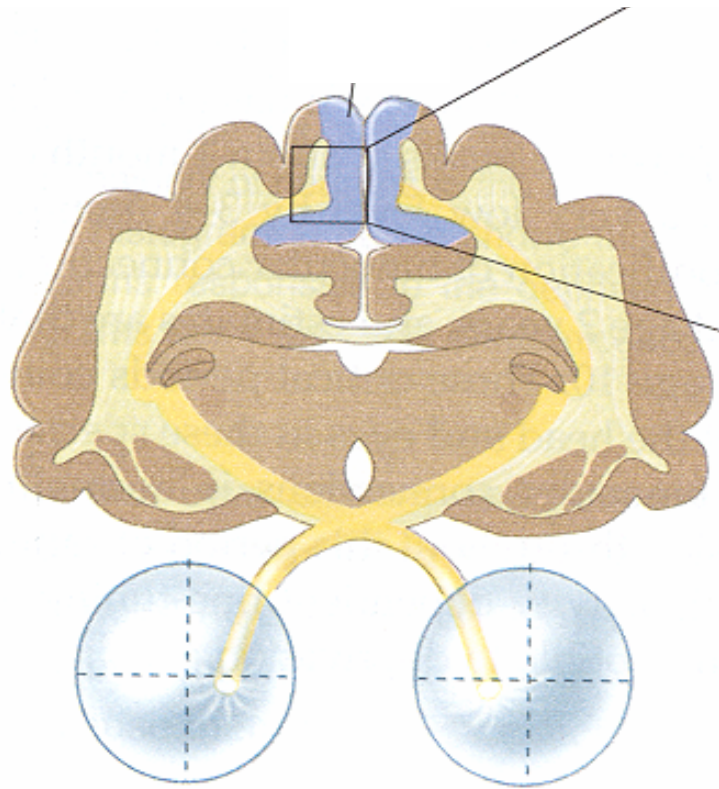
13 Wochen

1 mm

Autoradiographie

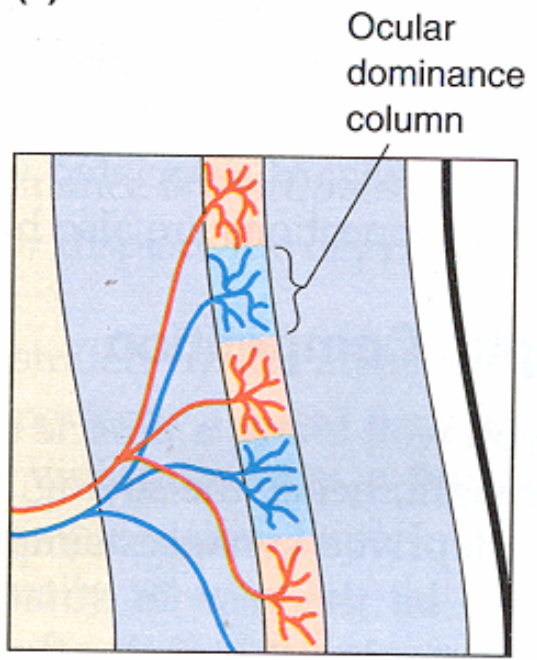
Kandel 56-4

Entwicklung der Okulardominanz-Säulen im primären visuellen Cortex erfolgt postnatal



Perinataler Zeitpunkt

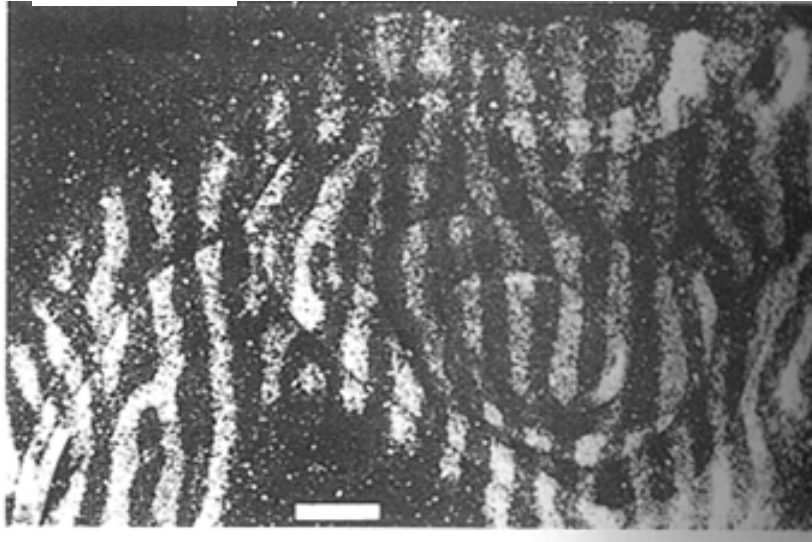
(a)



Alter ca. 6 Wochen

(b)

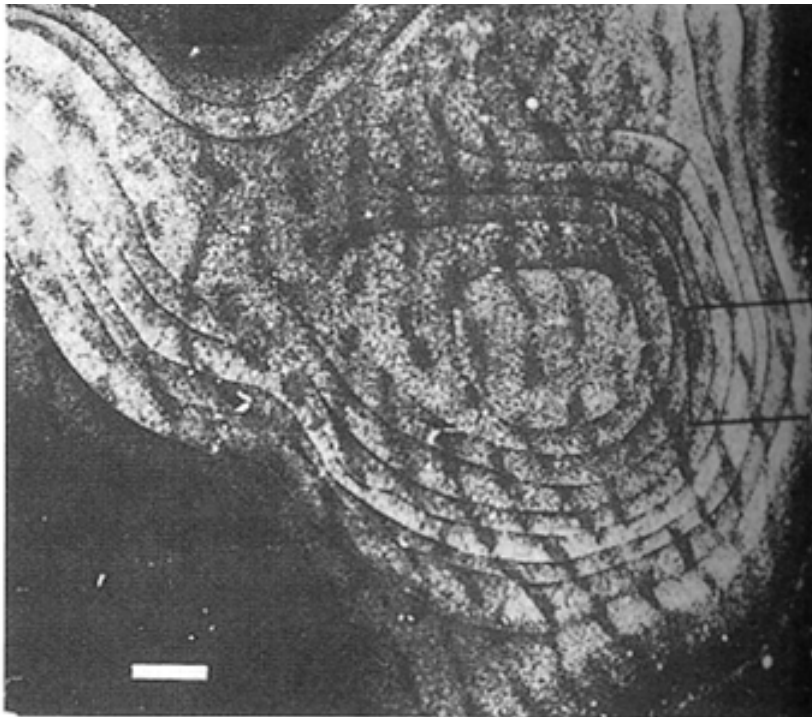
Normal



Okulardominanzsäulen im Visuellen Cortex

(Autoradiographie)

Depriviert (offenes Auge markiert –weiß-)



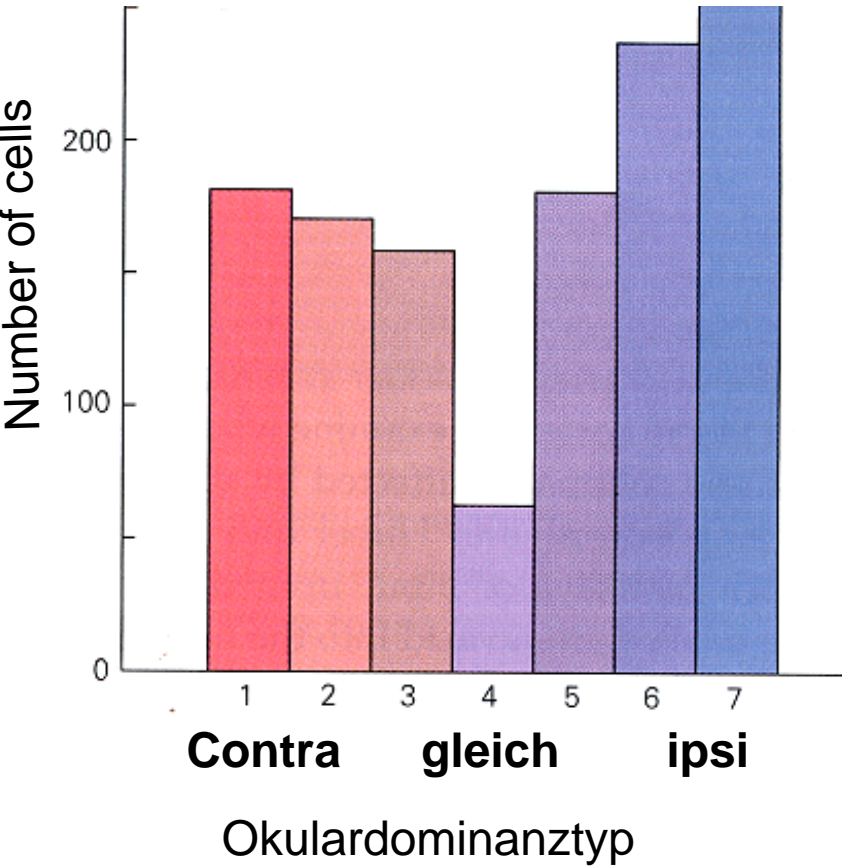
B

**Axonverzweigungen
Offenes Auge Depriviertes Auge**

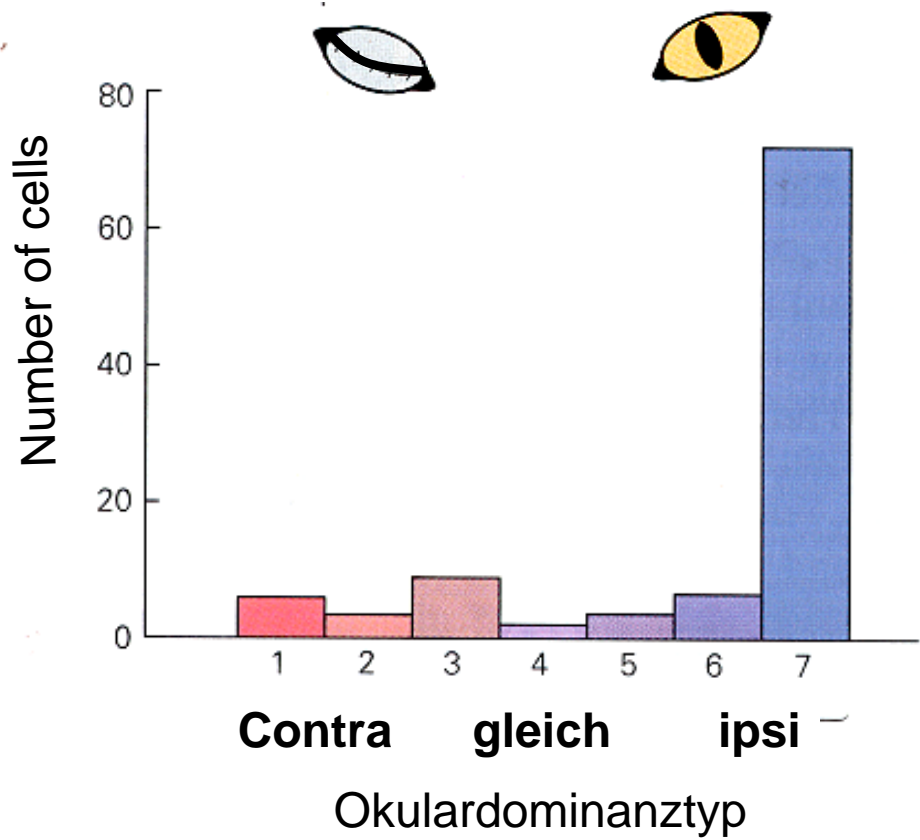


Kandel 56-3; 56-6

Normale Area 17 (V1) Schicht IV

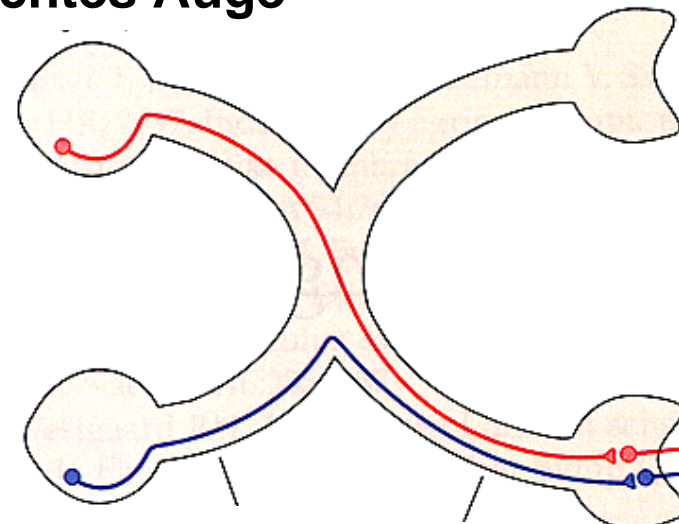


Area 17 nach monokularer Deprivation des contralateralen Auges



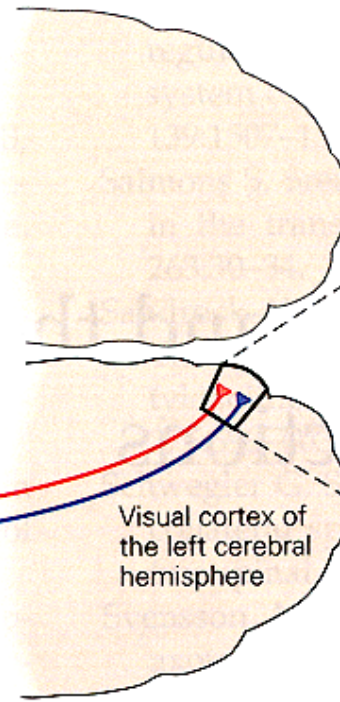
Intracortikale Verschaltungen reifen zuletzt

Rechtes Auge



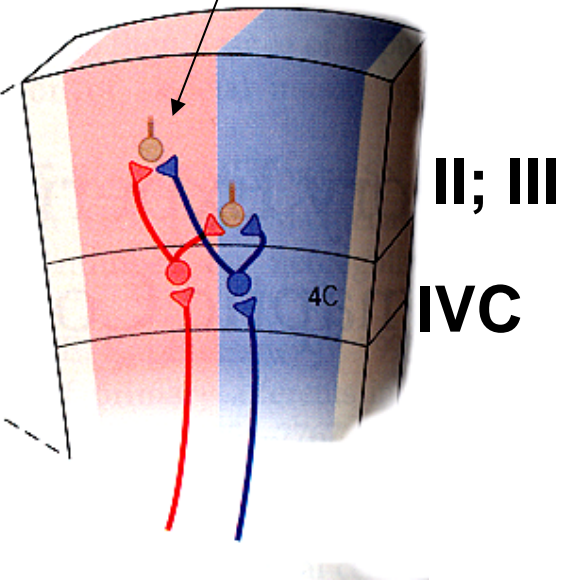
linkes Auge

LGN



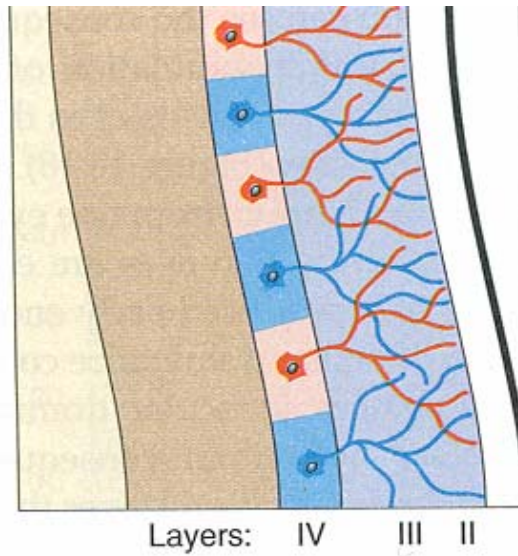
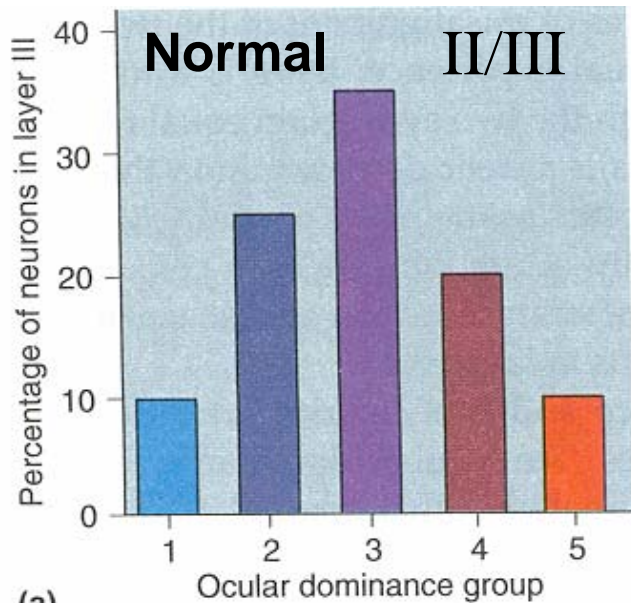
Visual cortex of the left cerebral hemisphere

Binokulare Zellen

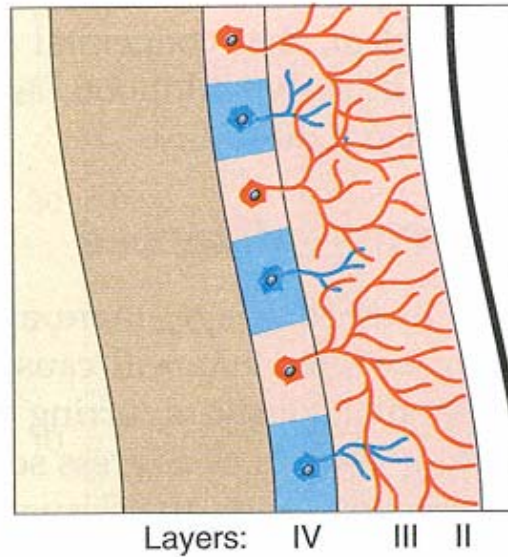
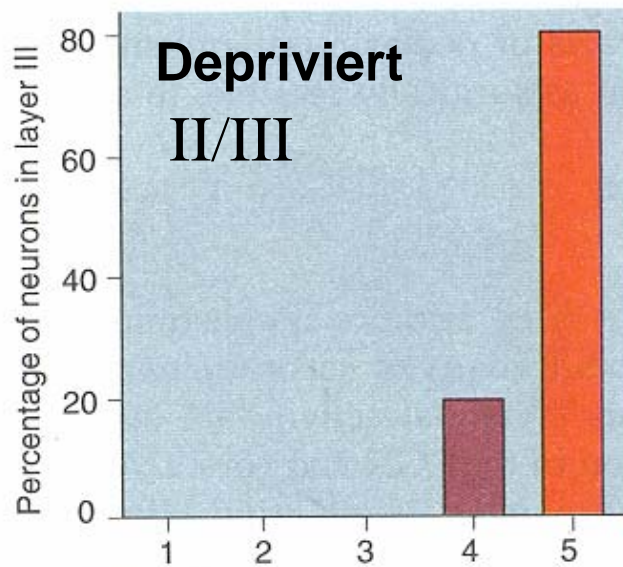


Primärer visueller Cortex

Kandel 56-1

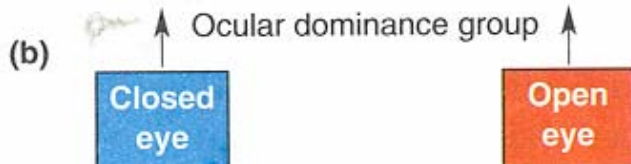


(a)

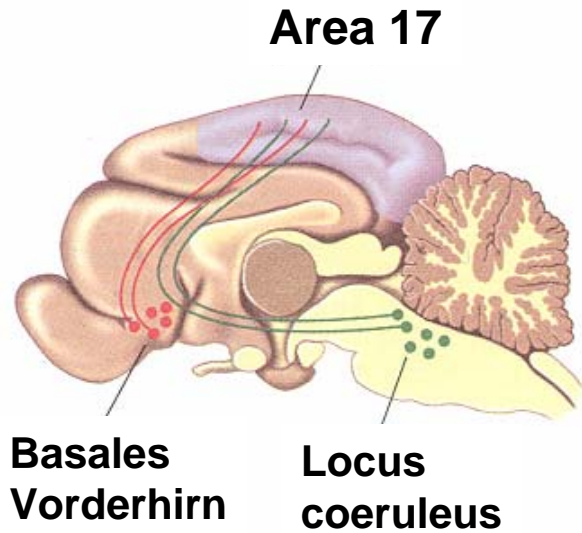


**starker Okulardominanz-
shift in Schicht II, III**

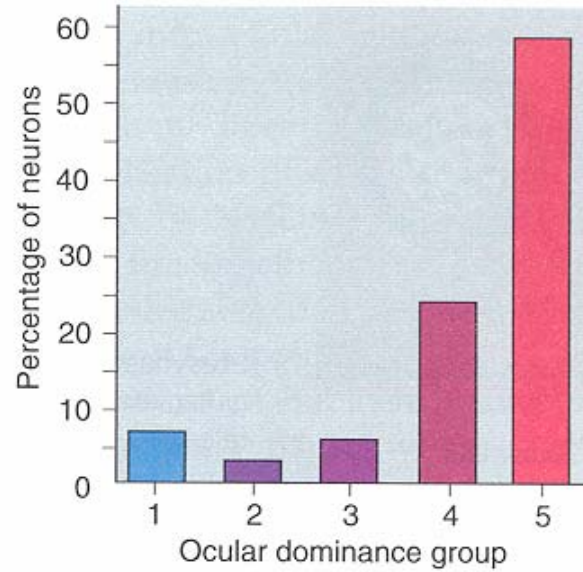
**es fehlen nun vor allem
binokulare Zellen**



Modulatorische Systeme

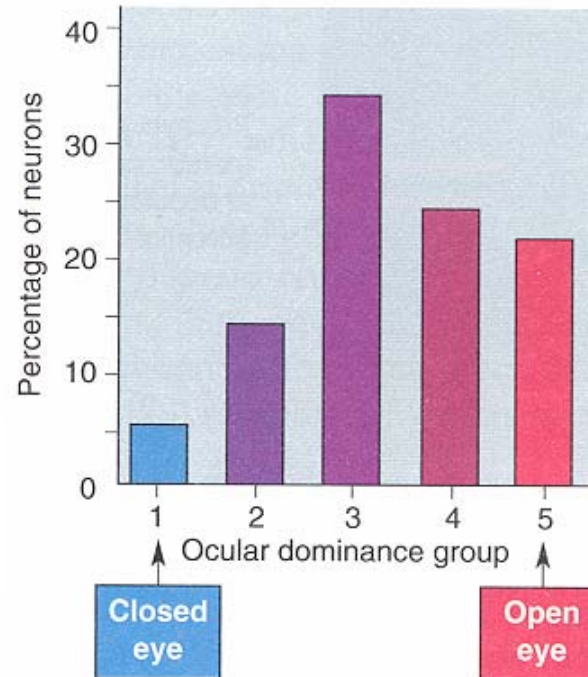
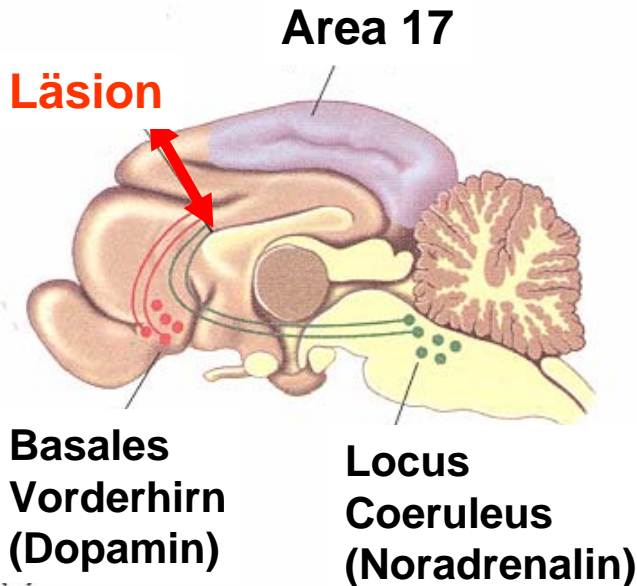


(a)

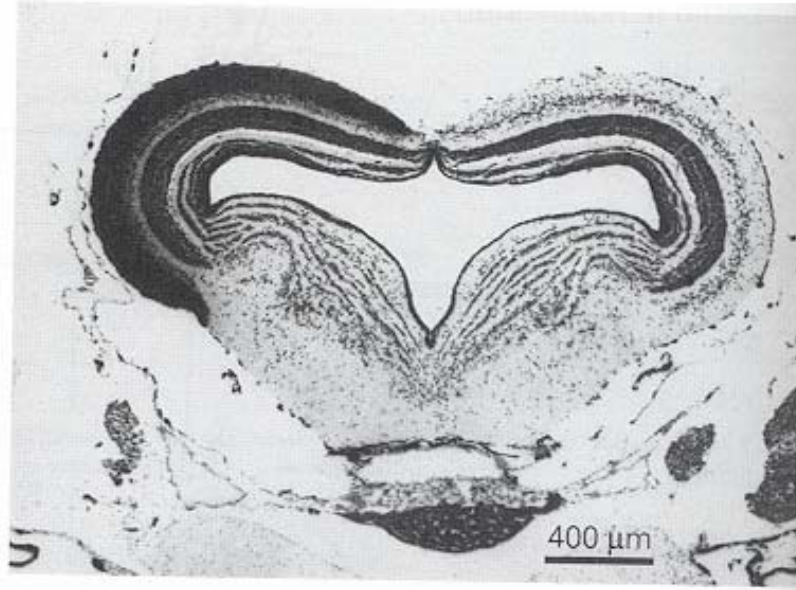
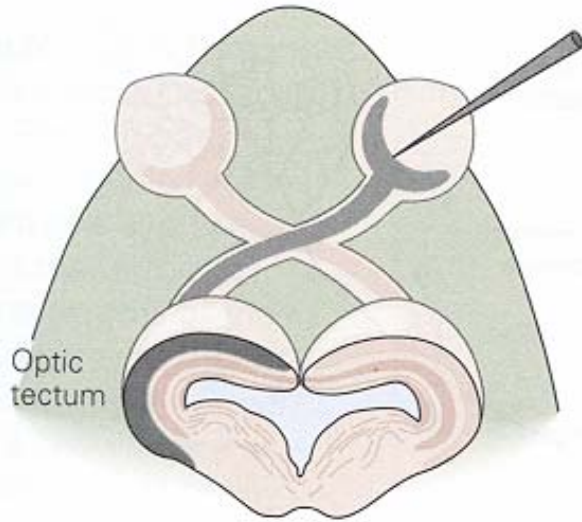


Monoamine
(Dopamine, Noradrenalin)

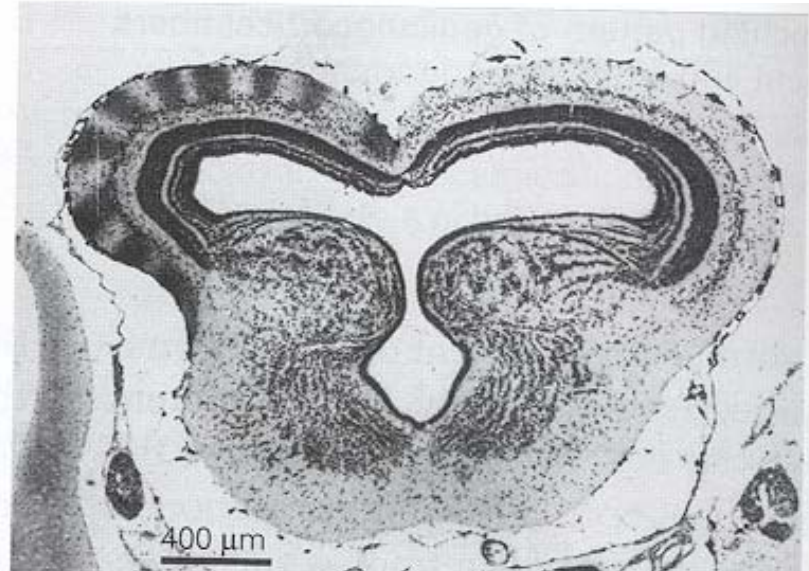
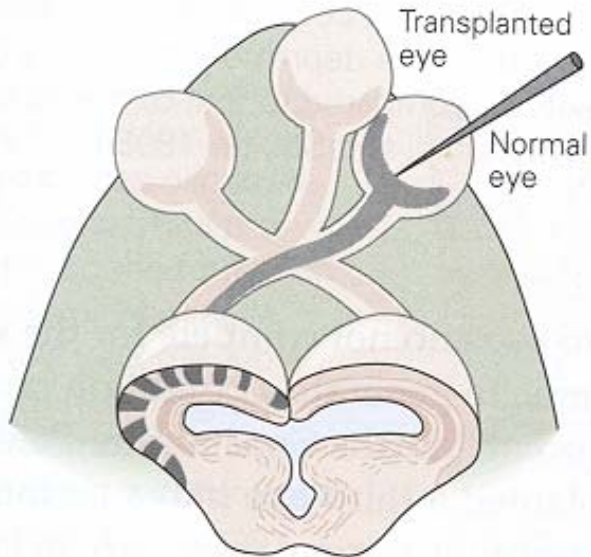
GABAerge Systeme
(Reifung beeinflusst durch BDNF, MHC?)



Normal



„3ugiger Frosch: Entwicklung von Okulardominanz



Kandel
56-7;8